

(650. F)
가 2

2.2

9KW , test section
400mm
pattern
Imersion heater
가

2.3

10kW 300 10kW
test section 가
3Way valve 가 가

3.

2 , ,
1 16 T type 2 K type
16 T type, 4
3 , 가 1
2 K type 가 1 가
가

T type mV HP VXI 60Hz
tranducer , 가 가
HIOKI 3way valve Hook meter , FLUKE Power
pattern

4.

가
steady 0.05M 0.1M step 4

1000frame 1
0°

6°

5.

가

5.1

3, 4, 5

가

. CHF가
CHF

1.1MW/m²

1MW/m²

1.1MW/m²

T.D. Bui and V.K.Dhir [1] 가

CHF

0.9MW/m²

CHF

가 20

가 CHF가

20

0.89MW/m²

5.2

가

가

가

가

가

가 6 가
30 mm

가 가
가

가

가 9

가 7 가
가

가

가

가 가 3-4 cm

8

가 가

가

가

가

가

9-c

가

5.3

가

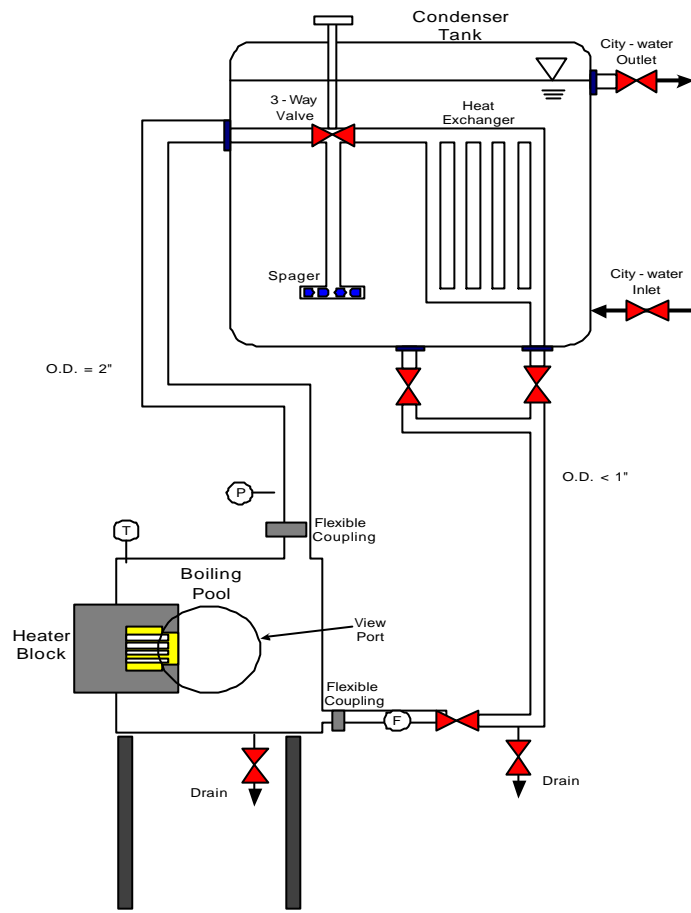
가 . 가 가 200
0.1 MW/m² 가 3 5

5.4

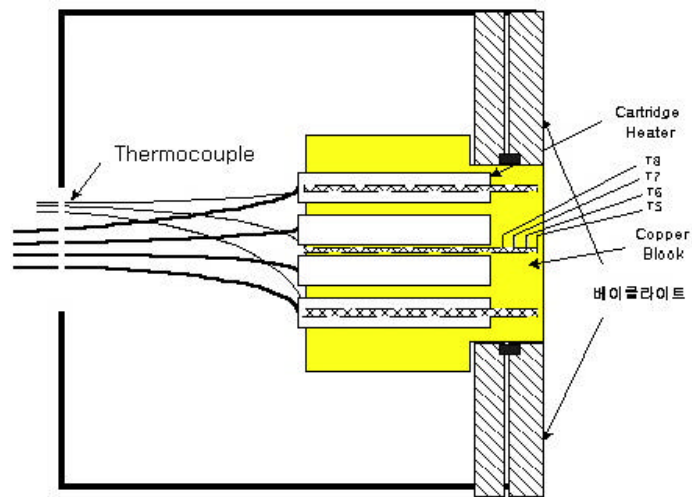
가 가 10
가, 가 가

References:

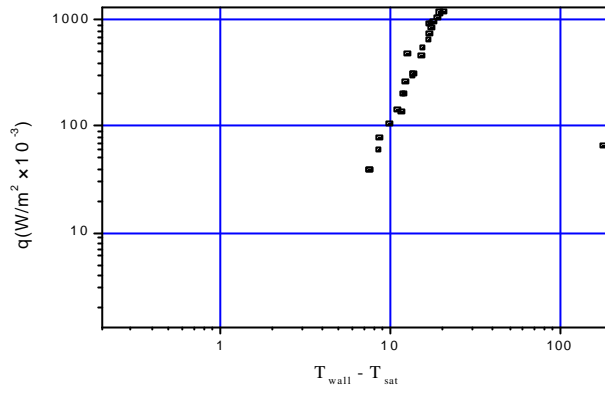
1. T. D. Bui, V. K. Dhir, Transition Boiling Heat Transfer on a Vertical Surface, Transactions of ASME, Vol. 107, 1985.
2. H. S. Liang, W. J. Yang, and D. L. Vrable, Feasibility Study of immersion cooling of multi-chip modules on metal-graphite composite surfaces, Proceedings of 11th IHTC, Vol.2, 521-526, 1998, Kyongju, Korea.
3. A. H. Howard, C. Gersey, An analytical model for near-saturated pool boiling critical heat flux on vertical surfaces, I. Mudawar, Int. J. Heat Mass Transfer, Vol. 40, No. 10, 2327-2339, 1997.
4. T. G. Theofanous and S. Syri, The coolability limits of a reactor pressure vessel lower head, Nuclear Engineering and Design 169, pp. 59-76, 1997.
5. A hydrodynamic critical heat flux model for saturated pool boiling on a downward facing curved heating surface, F. B. Cheung, K. H. Haddad, Int. J. Heat Mass Transfer, Vol. 40, No. 6, 1291-1302, 1997.
6. S. H. Yang, W. P. Baek, S. H. Chang, Pool boiling critical heat flux of water on small plates: Effects of surface orientation and size, International Communications in Heat and Mass Transfer, Vol. 24(8), 1093-1102, 1997.



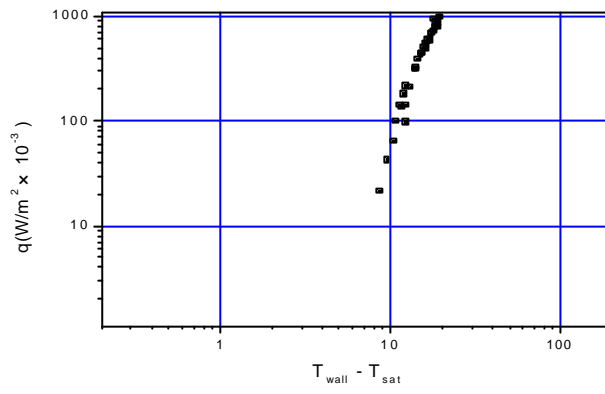
1.



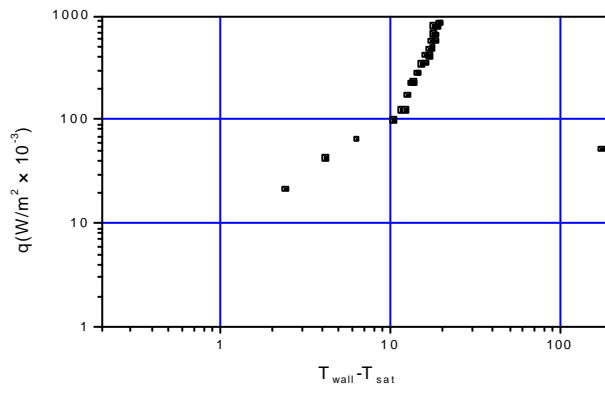
2. Heat Block



3. Heat Flux



4. Heat Flux



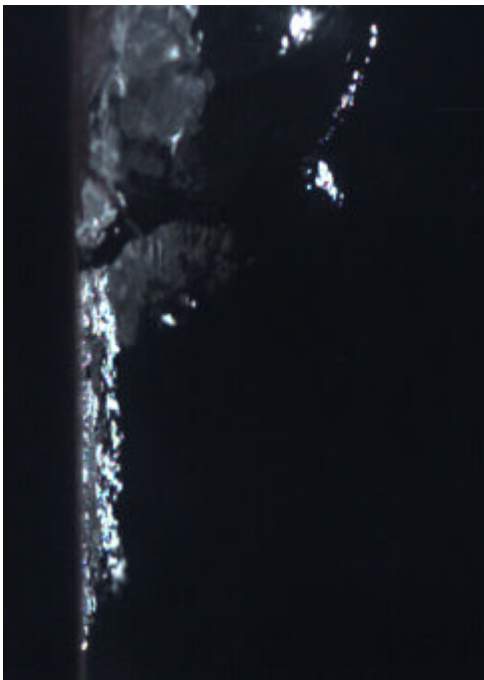
5. 6° Heat Flux



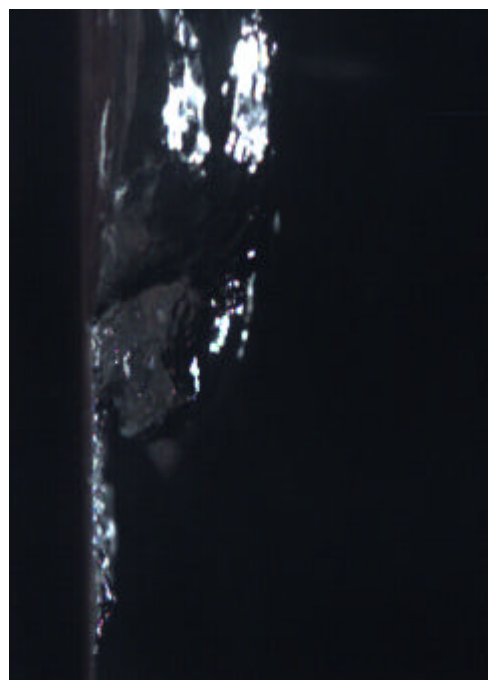
6-a



6-b

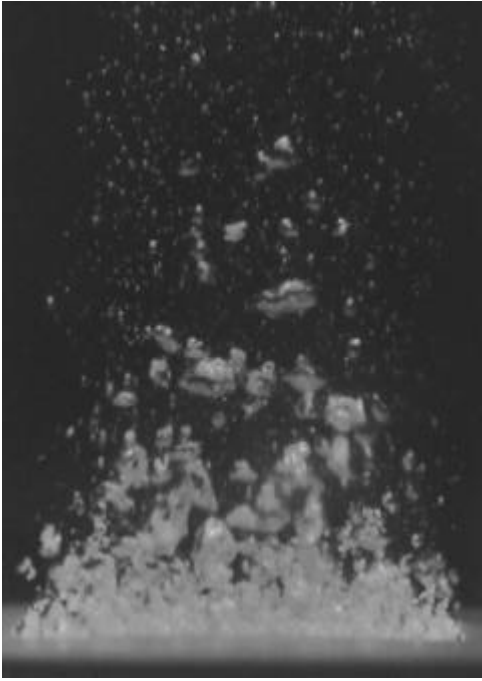


6-c

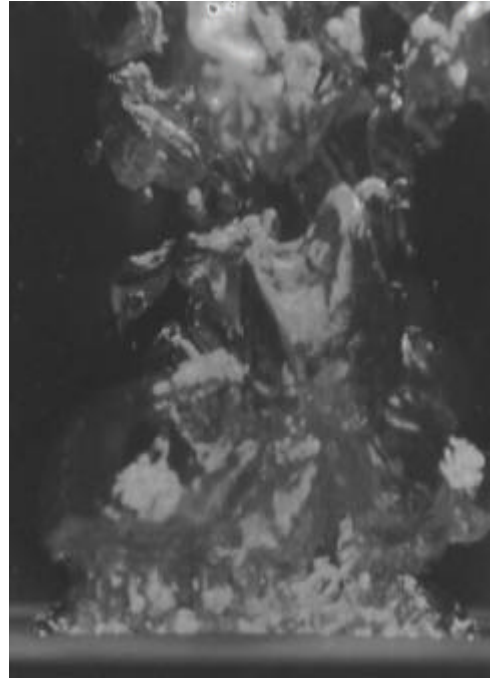


6-d

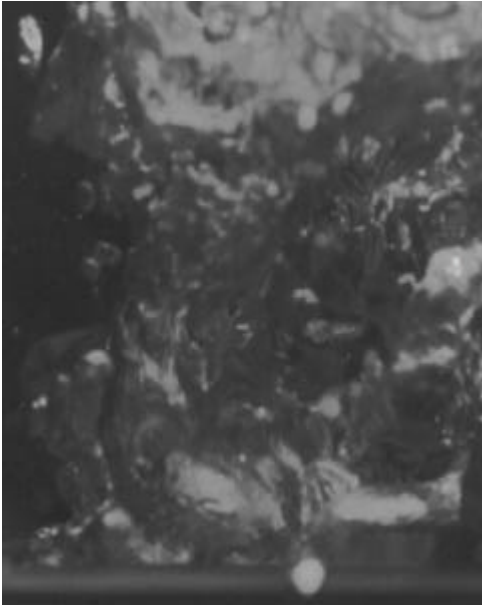
6. (0.1(6-a), 0.3(6-b), 0.8(6-c), 1(6-d)MW/m²)



7-a



7-b



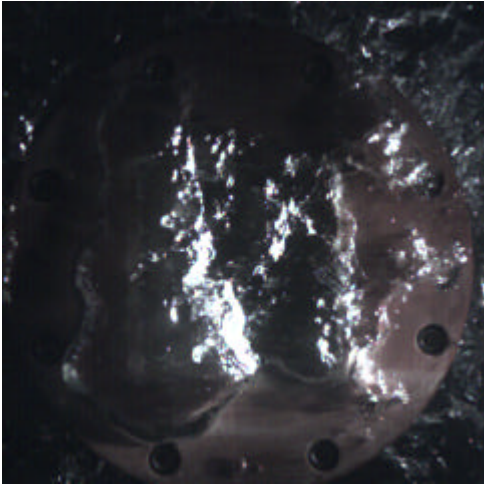
7-c



7-d

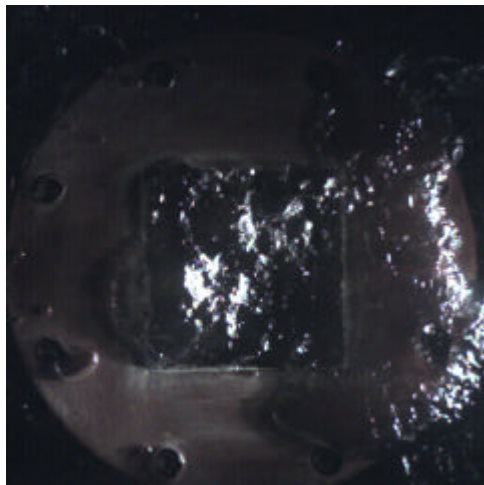
7.

(0.1, 0.3, 0.8, 1MW/m²)



8-a

8.6°

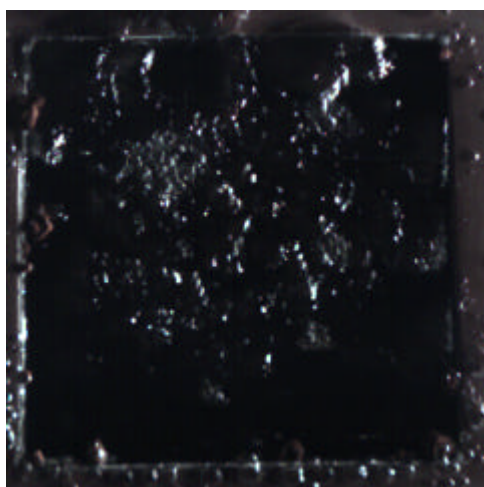


8-b

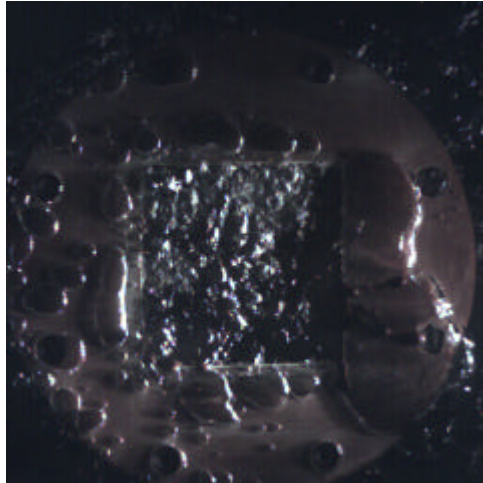
(0.6, 0.8MW/m²)



9-a. (side)

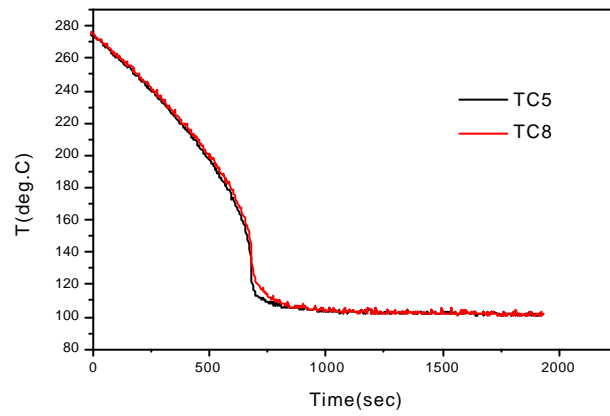


9-b. (front)



9-c.

9.



10.

quenching